

第11篇 机械制造工艺(二)

主 编 叶仲仁 (机械电子工业部北京机床研究所)
编 写 人 李自通 (机械电子工业部北京机床研究所)
雷鸣达 (机械电子工业部北京机床研究所)
瞿景明 (机械电子工业部北京机床研究所)
章天信 (机械电子工业部北京机床研究所)
周广德 (中国科学院电工研究所)
张魁武 (机械电子工业部北京机床研究所)
责 任 编 辑 王少怀



1 金属切削原理与刀具

1·1 基本概念

a. 切削运动和切削用量 在切削加工过程中，刀具与工件之间必须有相对的切削运动。切削运动包括主运动和进给运动。

主运动——直接切除工件上的被切削层、使之成为切屑的主要运动。主运动速度称为切削速度 v (m/min , 磨削加工中一般为 m/s)。通常, v 值较高, 它所消耗的功率较大。

进给运动——使被切削层不断地投入切削的运动。它可分为：

(1) 吃刀运动 控制刀刃切入深度的运动。在多数情况下, 吃刀运动是间歇性的。吃刀的大小称为切削深度 a_p (mm)。

(2) 走刀运动 沿着所要形成的工件表面的进给运动, 用进给速度 v_f (mm/min) 或进给量 f 表示。在刨削中, 进给量 f 指每双行程(即刀具与工件相对往返一次)工件相对于刀具在走刀运动方向上移动的距离 ($mm/双行程$)；在车削、镗削、钻削和铣削中, 进给量 f 表示工件或刀具旋转一转时, 刀具相对于工件在走刀运动方向上移动的距离 (mm/r)。采用旋转的多齿刀具切削, 有时还需知道每齿进给量 f_z ($mm/齿$)。它们之间的关系如下式：

$$v_f = n f = n z f_z \quad mm/min$$

式中 n —— 刀具转速 r/min

z —— 刀具齿数

切削速度 v 、切削深度 a_p 和进给量 f 是切削用量的三要素。

b. 刀具切削部分的构造要素 以外圆车刀(图11-1)为例, 刀具切削部分各要素的名称和定义见表11-1。

c. 刀具的几何角度 刀具的几何角度有两类, 即刀具角度和刀具工作角度。制造、刃磨和测量刀具, 需要应用在静止基准系中的刀具角度; 为分析刀具在实际工作中的切削情况, 需要应用在工作基准

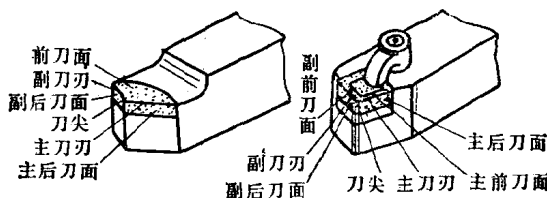


图11-1 外圆车刀切削部分的构造要素

表11-1 刀具切削部分要素

名 称	符 号	定 义
前刀面	A_γ	直接切入和挤压工件被切削层并控制切屑沿其排出的刀面
主后刀面 (后刀面)	A_a	与工件加工表面相互作用和相互面对的刀面
副后刀面	A'_a	与工件已加工表面相互作用和相互面对的刀面
主刀刃 (切削刃)	s	前刀面与主后刀面的相交部位。主刀刃是形成工件上切削表面的一段刀刃，简称切削刃
副刀刃 (副切削刃)	s''	前刀面与副后刀面的相交部位。副切削刃是配合主切削刃最终形成工件已加工表面的一段刀刃
刀尖		刀刃(或刃段)之间转折的尖角部分

注：1.各刀刃都有自己的前刀面，但为了制造简单，常取公共前刀面。

2.为增强刀尖部分，经常刃磨出直线或圆弧形过渡刃。

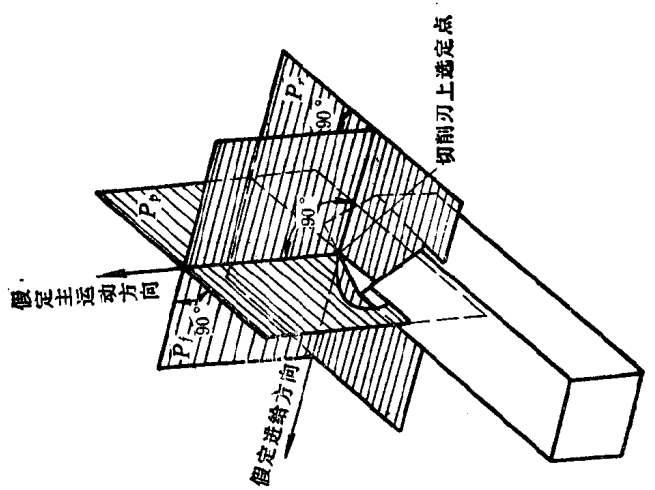
系中的刀具工作角度。通常，根据在切削中所需的刀具工作角度，换算出所需刃磨的刀具角度。

刀具的基准系在切削刃上各点是变化的，因此应指明所选定的点，未特殊注明时所选定的点是指刀尖点。

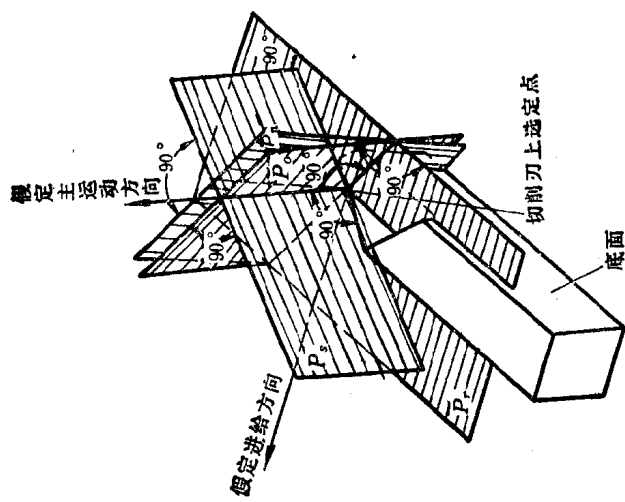
以车刀为例，刀具的静止基准系是在不考虑进给运动、规定刀尖安装在工件中心高上、刀杆的中心线垂直于进给方向等简化条件下的坐标系统。静止基准系的各坐标平面见表11-2和图11-2，车刀在静止基准系内的刀具角度见表11-3。

表11-2 刀具静止基准系的各坐标平面

名 称	符 号	定 义	说 明
基面	P_r	通过切削刃选定点，垂直于该点的切削速度方向	对普通车刀，基面平行刀具底面；对旋转刀具基面包含刀具轴线
切削平面	P_s	通过切削刃选定点与切削刃相切，且垂直于该点基面(P_r)的平面	在选定点切于工件的加工表面
主剖面	P_o	通过切削刃选定点，垂直于基面(P_r)和切削平面(P_s)的平面	$P_r-P_s-P_o$ 组成一个互相正交的主剖面坐标系
法剖面	P_n	通过切削刃选定点与切削刃相垂直的平面	当刃倾角 $\lambda_s \neq 0$ 时， P_n 和 P_r 不正交
假定走刀平面	P_f	通过切削刃选定点，与基面(P_r)相垂直，并平行于假定走刀方向	对普通车刀， P_f 垂直于刀杆的轴线；对钻头，则平行于刀具的轴线
假定切深平面	P_p	通过切削刃选定点且垂直于基面(P_r)和假定走刀平面(P_f)的平面	$P_r-P_f-P_p$ 组成一个互相正交的走刀平面坐标系
最大前角平面	P_g	通过切削刃选定点，垂直于前刀面(A_y)和基面(P_r)的平面	
最小后角平面	P_b	通过切削刃选定点，垂直于后刀面(A_a)和基面(P_r)的平面	



a) 空间立体图



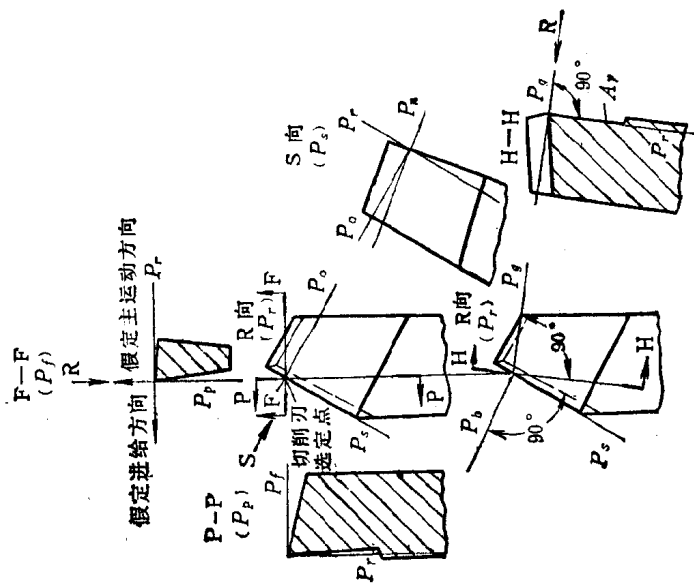


图11-2 刀具静止基准系各坐标平面
b) 平面投影图

表11-3 车刀在静止基准系内的角度

名 称	符 号	定 义
前 角		前刀面 (A_Y) 与基面 (P_r) 之间的夹角
主前角	γ_o	在主剖面 (P_o) 内测量的前角
法前角	γ_n	在法剖面 (P_n) 内测量的前角
走刀方向前角	γ_f	在假定走刀平面 (P_f) 内测量的前角
切深方向前角	γ_p	在假定切深平面 (P_p) 内测量的前角
最大前角	γ_g	在最大前角平面 (P_g) 内测量的前角
后 角		主后刀面 (A_a) 与切削平面 (P_s) 之间的夹角
主后角	α_o	在主剖面 (P_o) 内测量的后角
法后角	α_n	在法剖面 (P_n) 内测量的后角
走刀方向后角	α_f	在假定走刀平面 (P_f) 内测量的后角
切深方向后角	α_p	在假定切深平面 (P_p) 内测量的后角
最小后角	α_b	在最小后角平面 (P_b) 内测量的后角
主偏角	κ_r	切削平面 (P_s) 与假定走刀平面 (P_f) 的夹角, 在基面 (P_r) 内测量
副偏角	κ'_r	副切削刃的切削平面 (P'_s) 与假定走刀平面 (P_f) 的夹角, 在基面 (P_r) 内测量
刃倾角	λ_o	切削刃与基面 (P_r) 间的夹角, 在切削平面 (P_s) 内测量
副后角	α'_o	副切削刃的切削平面 (P'_s) 与副后刀面 (A'_s) 之间的夹角, 在副剖面 (P'_o) 内测量

注: 1.当切削刃与副切削刃有公共前刀面时, 副切削刃的前角及刃倾角是派生角度。

2.为了与前角正负号的标注一致, 刃倾角正负号的标注与以前习惯上正好相反。

通常，主切削刃与副切削刃有公共前刀面，副切削刃的前角（副刃前角 γ' ）及刃倾角（副刃刃倾角 λ' ）是派生角度，可按下式计算：

$$\operatorname{tg} \gamma' = \operatorname{tg} \gamma_0 \cos(\kappa_r + \kappa'_r) + \operatorname{tg} \lambda_0 \sin(\kappa_r + \kappa'_r)$$

$$\operatorname{tg} \lambda' = \operatorname{tg} \gamma_0 \sin(\kappa_r + \kappa'_r) - \operatorname{tg} \lambda_0 \cos(\kappa_r + \kappa'_r)$$

主刀刃在空间的位置，由主偏角 κ_r 及刃倾角 λ_0 确定；组成主刀刃的前刀面位置和主后刀面位置，分别由前角 γ_0 和后角 α_0 确定。对任一刀刃，均有与上述相应的四个基本角度，并且只需标注某一基准系内的角度即可。各基准系内的刀具角度换算公式见表11-4。

考虑了进给运动、刀具安装条件以及切削过程中的积屑瘤、流屑方向的影响而确定的刀具几何角度，称为刀具工作角度或刀具实际角度。刀具各工作角度的定义与静止基准系中的刀具角度相似，在工作基准系内也有相应的主剖面系、法剖面系等的刀具工作角度，其术语多冠以“工作”字样，其符号的下角标处均加注“e”字母。

以车刀为例，进给运动和安装条件对刀具角度的影响见表11-5。

通常进给速度远小于主运动速度，在正常的安装条件下，刀具工作角度近似等于静止基准系内的刀具角度。因此，多数情况下不必进行刀具工作角度的计算。

大刃倾角刀具流屑方向改变后的刀具工作角度情况见本章1·3的斜角切削。

1·2 刀具几何参数的选择

刀具几何参数是指刀具几何角度、过渡刃形状、刃口型式及其他有关的形状尺寸参数。

a. 刀具几何角度的选择原则（表11-6）

b. 过渡刃形状和参数的选择 刀尖处强度较低、散热条件较差，而该处的切削力和切削热又比较集中，因此刃磨出过渡刃以强化刀尖是提高刀具耐用度、切削效率和加工质量的重要措施。表11-7列出过渡刃的型式、参数、特点及应用。表11-8列出刃口的型式、参数及应用。

表11-9列出硬质合金车刀合理几何参数参考值，可供参考应用。

表11-4 各基准系中车

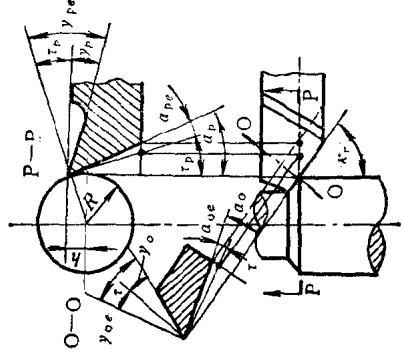
已知		($P_r-P_s-P_o$ 系) 主剖面系	($P_r-P_s-P_n$ 系) 法平面系
求解		$\kappa_r \lambda_s a_o Y_o$	$\kappa_r \lambda_s a_n Y_n$
主 剖 面 系	κ_r	不 变	不 变
	λ_s		$\operatorname{tg} \alpha_o = \operatorname{tg} \alpha_n \cos \lambda_s$
	a_o		$\operatorname{tg} Y_o = \frac{\operatorname{tg} Y_n}{\cos \lambda_s}$
	Y_o		
法 平 面 系	κ_r	不 变	不 变
	λ_s		
	a_n	$\operatorname{tg} \alpha_n = \frac{\operatorname{tg} \alpha_o}{\cos \lambda_s}$	
	Y_n	$\operatorname{tg} Y_n = \operatorname{tg} Y_o \cos \lambda_s$	
假 定 走 刀 平 面 系	a_p	$\operatorname{ctg} \alpha_p = \cos \kappa_r \operatorname{ctg} \alpha_o + \sin \kappa_r \operatorname{tg} \lambda_s$	$\operatorname{ctg} \alpha_p = \cos \kappa_r \frac{\operatorname{ctg} \alpha_n}{\cos \lambda_s} + \sin \kappa_r \operatorname{tg} \lambda_s$
	a_f	$\operatorname{ctg} \alpha_f = \sin \kappa_r \operatorname{ctg} \alpha_o - \cos \kappa_r \operatorname{tg} \lambda_s$	$\operatorname{ctg} \alpha_f = \sin \kappa_r \frac{\operatorname{ctg} \alpha_n}{\cos \lambda_s} - \cos \kappa_r \operatorname{tg} \lambda_s$
	Y_p	$\operatorname{tg} Y_p = \cos \kappa_r \operatorname{tg} Y_o + \sin \kappa_r \operatorname{tg} \lambda_s$	$\operatorname{tg} Y_p = \cos \kappa_r \frac{\operatorname{tg} Y_n}{\cos \lambda_s} + \sin \kappa_r \operatorname{tg} \lambda_s$
	Y_f	$\operatorname{tg} Y_f = \sin \kappa_r \operatorname{tg} Y_o - \cos \kappa_r \operatorname{tg} \lambda_s$	$\operatorname{tg} Y_f = \sin \kappa_r \frac{\operatorname{tg} Y_n}{\cos \lambda_s} - \cos \kappa_r \operatorname{tg} \lambda_s$
最 大 前 角 系	θ_r	$\operatorname{tg}(\kappa_r + \theta_r) = - \frac{\operatorname{ctg} \alpha_o}{\operatorname{tg} \lambda_s}$	$\operatorname{tg}(\kappa_r + \theta_r) = - \frac{\operatorname{ctg} \alpha_n}{\sin \lambda_s}$
	δ_r	$\operatorname{tg}(\kappa_r + \delta_r) = - \frac{\operatorname{tg} Y_o}{\operatorname{tg} \lambda_s}$	$\operatorname{tg}(\kappa_r + \delta_r) = - \frac{\operatorname{tg} Y_n}{\sin \lambda_s}$
	α_b	$\operatorname{ctg} \alpha_b = \sqrt{\operatorname{ctg}^2 \alpha_o + \operatorname{tg}^2 \lambda_s}$	$\operatorname{ctg} \alpha_b = \sqrt{\frac{\operatorname{ctg}^2 \alpha_n}{\cos^2 \lambda_s} + \operatorname{tg}^2 \lambda_s}$
	Y_g	$\operatorname{tg} Y_g = \sqrt{\operatorname{tg}^2 Y_o + \operatorname{tg}^2 \lambda_s}$	$\operatorname{tg} Y_g = \sqrt{\frac{\operatorname{tg}^2 Y_n}{\cos^2 \lambda_s} + \operatorname{tg}^2 \lambda_s}$

注: δ_r —最大前角平面方向角; θ_r —最小后角平面方向角。

刀几何角度换算公式

$(P_r - P_f - P_b)$ 系 假定走刀平面系	$(P_r - P_g - P_b)$ 系 最大前角系
$\alpha_p \quad \alpha_f \quad \gamma_p \quad \gamma_f$	$\theta_r \quad \delta_r \quad \alpha_b \quad \gamma_g$
$\operatorname{tg} \kappa_r = \frac{\operatorname{tg} \alpha_f - \operatorname{tg} \gamma_f}{\operatorname{tg} \alpha_p - \operatorname{tg} \gamma_p}$	$\operatorname{tg} \kappa_r = \frac{\operatorname{ctg} \alpha_b \cos \theta_r - \operatorname{tg} \gamma_g \cos \delta_r}{\operatorname{ctg} \alpha_b \sin \theta_r - \operatorname{tg} \gamma_g \sin \delta_r}$
$\operatorname{tg} \lambda_s = \frac{\sin \kappa_r \operatorname{tg} \alpha_p - \cos \kappa_r \operatorname{ctg} \alpha_f}{\sin \kappa_r \operatorname{tg} \gamma_p - \cos \kappa_r \operatorname{tg} \gamma_f}$	$\operatorname{tg} \gamma_s = -\cos(\kappa_r + \theta_r) \operatorname{ctg} \alpha_b$ $\operatorname{tg} \gamma_s = -\operatorname{tg} \gamma_g \cos(\kappa_r + \delta_r)$
$\operatorname{ctg} \alpha_o = \cos \kappa_r \operatorname{ctg} \alpha_p + \sin \kappa_r \operatorname{ctg} \alpha_f$	$\operatorname{ctg} \alpha_o = \operatorname{ctg} \alpha_b \sin(\kappa_r + \theta_r)$
$\operatorname{tg} \gamma_o = \cos \kappa_r \operatorname{tg} \gamma_p + \sin \kappa_r \operatorname{tg} \gamma_f$	$\operatorname{tg} \gamma_o = \operatorname{tg} \gamma_g \sin(\kappa_r + \delta_r)$
$\operatorname{tg} \gamma_o = \cos \kappa_r \operatorname{tg} \gamma_p + \sin \kappa_r \operatorname{tg} \gamma_f$	$\operatorname{tg} \gamma_o = \operatorname{tg} \gamma_g \sin(\kappa_r + \delta_r)$
$\operatorname{ctg} \alpha_n = (\cos \kappa_r \operatorname{ctg} \alpha_p + \sin \kappa_r \operatorname{ctg} \alpha_f) \cos \lambda_s$	$\operatorname{tg} \alpha_n = \frac{\operatorname{tg} \alpha_b}{\cos \lambda_s \sin(\kappa_r + \theta_r)}$
$\operatorname{tg} \gamma_n = (\cos \kappa_r \operatorname{tg} \gamma_p + \sin \kappa_r \operatorname{tg} \gamma_f) \cos \lambda_s$	$\operatorname{tg} \gamma_n = \operatorname{tg} \gamma_g \cos \lambda_s \sin(\kappa_r + \delta_r)$
不 变	
$\operatorname{ctg} \alpha_p = \sin \theta_r \operatorname{ctg} \alpha_b$	
$\operatorname{ctg} \alpha_f = \cos \theta_r \operatorname{ctg} \alpha_b$	
$\operatorname{tg} \gamma_p = \sin \delta_r \operatorname{tg} \gamma_g$	
$\operatorname{tg} \gamma_f = \cos \delta_r \operatorname{tg} \gamma_g$	
$\operatorname{tg} \theta_r = \frac{\operatorname{tg} \alpha_f}{\operatorname{tg} \alpha_p}$	不 变
$\operatorname{tg} \delta_r = \frac{\operatorname{tg} \gamma_p}{\operatorname{tg} \gamma_f}$	
$\operatorname{ctg} \alpha_b = \sqrt{\operatorname{ctg}^2 \alpha_p + \operatorname{ctg}^2 \alpha_f}$	
$\operatorname{tg} \gamma_g = \sqrt{\operatorname{tg}^2 \gamma_p + \operatorname{tg}^2 \gamma_f}$	

表11-5 车刀工作角度的计算

影响因素	示图	工作角度的计算
刀尖安装高于或低于工件的中心	 <p>1. 主剖面 $P-P$ 内 $\gamma_{oe} = \gamma_o \pm \tau$ $a_{oe} = a_o \pm \tau$</p> <p>2. 上两式中的正负号，上面符号适用于刀尖高（低）于工件中心的外（内）圆车削；下面的符号适用于刀尖低（高）于工件中心的外（内）圆车削</p> <p>3. τ 按下式求得：</p> $\tan \tau = \frac{h}{R^2 - h^2} \cos \kappa_r$	

<p>进给运动</p>	<p>1. 主前面 P_o 内 $\gamma_{oe} = \gamma_o + \mu$ $\alpha_{oe} = \alpha_o - \mu$</p> <p>2. 车螺纹时, 左侧刀工作角度的计算公式应取相反符号</p> <p>3. μ 按下式求得:</p> $\tan \mu = \frac{f \sin \kappa_r}{\pi D}$	<p>1. $\kappa_{re} = \kappa_r \pm \theta$ $\kappa'_{re} = \kappa_r \mp \theta$</p> <p>2. 式中, 上面的符号适用于图示方向的 θ (刀尖按逆时针方向转动), θ 与图示方向相反时, 取下面的符号</p>
--------------------	--	--

刀杆中心线与进
给方向不垂直

表11-6 刀具几何角度的功用及选择原则

名 称	功 用	选 择 原 则
前 角	增大前角可减少切削层的塑性变形，减小切屑流动时的摩擦阻力，从而使切削力和切削热减小。但前角过大，将削弱切削刃和刀头强度，散热条件恶化，使刀具耐用度降低，甚至造成崩刃	工件材料的强度、硬度愈低，塑性愈好，应取较大的前角；加工脆性材料（如铸铁）或刀具一切屑接触长度短的材料（如钛合金）时，应取较小的前角；加工特别硬的材料，如淬火钢，前角很小，甚至取负值
后 角 或 副 后 角	减小刀具后刀面或副后刀面与工件之间的摩擦，但后角过大，会削弱切削刃和刀头强度，恶化散热条件，使刀具耐用度降低，甚至造成崩刃	<p>1.精加工时，切削厚度薄，磨损主要发生在后刀面，宜取较大后角；粗加工及承受冲击载荷时，要求刃口强固，应取较小的后角</p> <p>2.工件材料较软、粘、加工硬化倾向大时，后刀面摩擦重，宜取较大后角；工件材料硬度、强度高，应取较小后角；但对加工硬材料的负前角刀具，后角可稍大些，以便刀刃易于切入工件；加工脆性材料，切削力集中于刃口处，宜取较小后角</p> <p>3.被加工工件刚性差（如细长轴或薄壁工件）时，应取较小后角，以增加后刀面与工件的接触面积，减小或消除振动</p> <p>4.有尺寸精度要求的刀具应取较小后角，以免重磨后刀具尺寸变化太大</p> <p>5.成形车刀或铲齿刀具等刃形复杂、各处法向后角常不相等，最小后角尽量不小于$2^{\circ}30'$</p> <p>6.高速钢刀具比硬质合金刀具的后角可增大$2^{\circ}\sim 3^{\circ}$</p>

(续)

名 称	功 用	选 择 原 则
主 偏 角	<p>1. 改变主偏角 (κ_r) 的大小, 可调整吃刀抗力 F_p 和走刀抗力 F_f 的比例。主偏角增大时, F_p 减小、F_f 增大, 有利于减小工艺系统的弹性变形和振动</p> <p>2. 减小主偏角, 可减小切削厚度和切削刃单位长度上的负荷, 同时刀尖角增大, 刀具的散热条件得到改善, 刀具耐用度可提高</p> <p>3. 主偏角影响断屑效果和排屑方向, 增大主偏角, 可使切屑变得窄而厚, 容易断屑, 对于孔加工刀具还有利于排出切屑</p>	<p>1. 精加工或半精加工, 一般选用较大的主偏角, 以利于减振和断屑</p> <p>2. 在工艺系统(机床—工件—夹具—刀具)刚性允许的条件下, 可减小主偏角以提高刀具耐用度</p> <p>3. 工件材料强度、硬度高时, 宜取较小的主偏角</p> <p>4. 需要从中间切入的刀具, 应取较大的主偏角</p> <p>5. 加工某些工作(如车阶梯轴、铣直角台阶等)主偏角的大小还应注意与工件的形状相适应</p>
副 偏 角	<p>1. 增大副偏角 (κ'_r) 可减小副刀刃不工作部分与工件已加工表面之间的摩擦。但副偏角过大, 会使刀尖角减小, 工件表面的残留面积也增加, 使刀具的散热条件恶化, 表面粗糙度的 R_a 值增大</p> <p>2. 减小副偏角, 对已加工表面的修光作用加强, 有利于降低表面粗糙度。但过小的副偏角会使吃刀抗力 F_p 增大, 在工艺系统刚性不足时易引起振动</p>	<p>1. 在不引起振动的情况下, 一般选用较小的副偏角。精加工刀具的副偏角应取得更小一些; 必要时可磨出一段 $\kappa'_r = 0$ 的修光刃, 修光刃长度 $b_e \approx (1.2 \sim 1.5) f$</p> <p>2. 切断及切槽刀具的副偏角应取较小值, 以保证重磨后刀具尺寸变化量较小。一般取 $\kappa'_r \approx 1^\circ \sim 2^\circ$</p>

(续)

名 称	功 用	选 挑 原 则
刃 倾 角	<p>1. 改变刃倾角 (λ_s) 的大小和方向, 可控制切屑流动的方向</p> <p>2. 可增加实际工作前角 (见11·1·3的斜角切削), 减小切屑变形, 使切削轻快</p> <p>3. 可减小切削刃口的实际工作圆弧半径, 使刀刃锋利, 可实现微量切削</p> <p>4. 断续切削时, 适当的刃倾角可使切削刃逐渐切入和切出工件, 冲击得到缓和, 切削比较平稳</p> <p>5. 负值的刃倾角, 可使刀尖避免受到冲击, 刀尖散热条件也较好, 有利于提高刀具耐用度</p> <p>6. 减小刃倾角会使吃刀抗力 F_p 增大</p>	<p>1. 粗加工时, 应取负值的刃倾角, 以保护刀尖, 提高切削平稳性, 一般取 $\lambda_s = 0^\circ \sim -5^\circ$</p> <p>精加工时, 应取正值的刃倾角, 使切屑流向待加工表面, 以免划伤已加工表面, 一般取 $\lambda_s = 0^\circ \sim 5^\circ$</p> <p>2. 冲击负荷较大的断续切削, 应取更大负值的刃倾角</p> <p>3. 加工特别硬的材料 (如淬火钢) 时, 对刀尖强度要求较高, 应取较大负值的刃倾角</p> <p>4. 工艺系统刚性不足时, 应尽量不用负刃倾角, 以免吃刀抗力 F_p 过大而引起振动, 但可考虑采用双刃倾角, 即主刀刃上近刀尖处取 $-\lambda_s$, 其他部分取 $+\lambda_s$</p> <p>5. 微量精车、精镗孔或精刨平面时, 可采用很大的刃倾角, 使刃口非常锋利, 以实现微量切削, 并获得较高的表面质量</p> <p>6. 圆柱铣刀、立铣刀的刀齿螺旋角 β (即主刀刃刃倾角 λ_s) 增大时, 可使切削轻快平稳, 刀具耐用度、生产效率和加工表面质量均可提高</p>